

Т. М. МІЩЕНКО (ДІТ)

МАТЕМАТИЧНЕ МОДЕЛЮВАННЯ ПЕРЕХІДНИХ ПРОЦЕСІВ У СИСТЕМІ ЗМІННОГО СТРУМУ «ТЯГОВА МЕРЕЖА – ЕЛЕКТРОВОЗ».

2. ВМИКАННЯ СИЛОВОГО ТРАНСФОРМАТОРА ЕЛЕКТРО- ВОЗА В РЕЖИМІ ХОЛОСТОГО ХОДУ; ВИЗНАЧЕННЯ Й АНАЛІЗ КІДКА СТРУМУ НАМАГНІЧУВАННЯ

Стаття є продовженням аналізу математичних моделей систем змінного струму, в які поступово підключаються елементи тягової мережі та вмикання силового трансформатора в режимі холостого ходу. Виконано чисельні розрахунки та аналіз струму намагнічування трансформатора.

Ключові слова: математична модель, тягова підстанція, пристрій поперечної компенсації, параметри тягової мережі, електровоз, трансформатор

Статья является продолжением анализа математических моделей систем переменного тока, в которые постепенно подключаются элементы тяговой сети и включение силового трансформатора в режиме холостого хода. Выполнены численные расчеты и анализ тока намагничивания трансформатора.

Ключевые слова: математическая модель, тяговая подстанция, устройство поперечной компенсации, параметры тяговой сети, электровоз, трансформатор

The article is a continuation of analysis of mathematical models for AC systems, in which the elements of electric-traction network and switch-on of power transformer in an idling mode are gradually connected. The numerical calculations and analysis of current of transformer magnetization are executed.

Keywords: mathematical model, electric-traction substation, device of transversal compensation, parameters of electric-traction network, electric locomotive, transformer

1. Вступ

Ця робота є продовженням досліджень [1] і містить результати чисельних розрахунків і аналізу переходних електромагнітних процесів, що супроводжують режим вмикання силового трансформатора електровоза ДС 3 без навантаження. При цьому оцінимо вплив на зазначені процеси в системі електричної тяги таких факторів і величин: руху електровоза з поїздом (шляхом урахування відстані ℓ електровоза до тягової підстанції); електричних параметрів тягової мережі і тягової підстанції; коливання фідерної напруги; наявність та значення електричних параметрів пристрою поперечної ємнісної компенсації. Розрахунки виконаємо для електрифікованої ділянки, зазначеної в [1], а також для зазначених в ній параметрів тягово-го трансформатора електровоза. З метою виявлення впливу на переходні величини, і зокрема на струм намагнічування $i_\mu(t)$ трансформатора, зазначених вище факторів послідовно складали й розраховували математичні моделі таких систем: «тягова мережа (ТМ) – електрорухомий склад (ЕРС)»; «тягова підстанція (ТП) – ТМ – ЕРС»; «ТП – пристрій поперечної компенсації (ППК) ТМ – ЕРС».

2. Електричні системи заміщення та математичні моделі систем

Наведемо схеми заміщення та математичні моделі процесів, що протікають у зазначених системах.

2.1. Система «ТМ – ЕРС»

Схема заміщення такої системи представлена на рис. 1, а математична модель являє собою нелінійне диференціальне рівняння вигляду:

$$R_{\text{TM}} \cdot i_\mu(t) + L_{\text{TM}} \cdot \frac{di_\mu}{dt} + (R_{\text{dp}} + R_{\text{tp1}}) \cdot i_\mu(t) + (L_{\text{dp}} + L_{\text{s1}}) \cdot \frac{di_\mu}{dt} + W_1 \cdot \frac{d\Phi}{dt} = u_1(t); \quad (1)$$

$$u_1(t) = U_{\text{nom}} \sqrt{2} \sin \omega t; \quad (2)$$

$$\Phi(t) = 0,1234 + 0,0003 i_\mu(t). \quad (3)$$

У рівняннях (1)–(3) та на рис. 1: R_{TM} – активний опір тягової мережі; L_{TM} – індуктивність тягової мережі; R_d – активний опір дроселя, L_d – індуктивність дроселя, R_{tp1} – активний опір трансформатора, L_{s1} – індуктивності розсіювання первинної обмотки трансформатора, W_{t1} – кількість витків первинної обмотки трансформатора, Φ – магнітний потік.

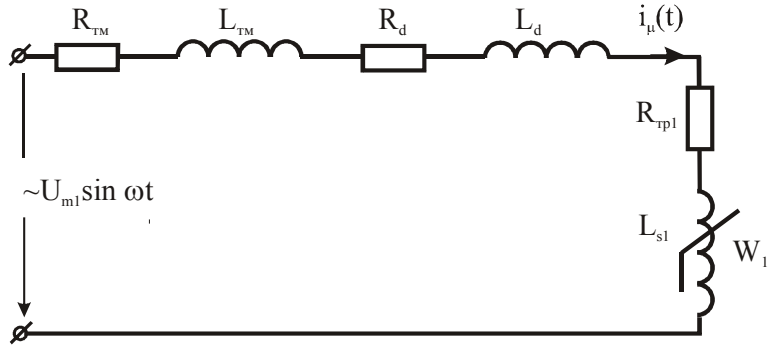


Рис. 1. Електрична схема заміщення системи «тягова мережа – електровоз»

2.2. Система «ТП – ТМ – ЕРС»

Схема заміщення такої системи, тобто з урахуванням параметрів тягової підстанції, представлена на рис. 2.

Електромагнітні процеси в схемі рис. 2 описаніться рівнянням (4):

$$R_{\text{пп}} \cdot i_1(t) + L_{\text{пп}} \cdot \frac{di_1}{dt} + (R_{\text{кп}} + R_p) \cdot i_\mu(t) +$$

$$+ (L_{\text{кп}} + L_p) \cdot \frac{di_\mu}{dt} + (R_{\text{dp}} + R_{\text{tp}}) \cdot i_\mu(t) + \\ + (L_{\text{dp}} + L_{\text{s1}}) \cdot \frac{di_\mu}{dt} + W_1 \cdot \frac{d\Phi}{dt} = 1,1 \cdot e_1(t), \quad (4)$$

де $R_{\text{пп}} = 0,176$ Ом – активний опір тягової підстанції; $L_{\text{пп}} = 0,0177$ Гн – індуктивність тягової підстанції; $1,1 \cdot e_1(t)$ – е.р.с. тягової підстанції.

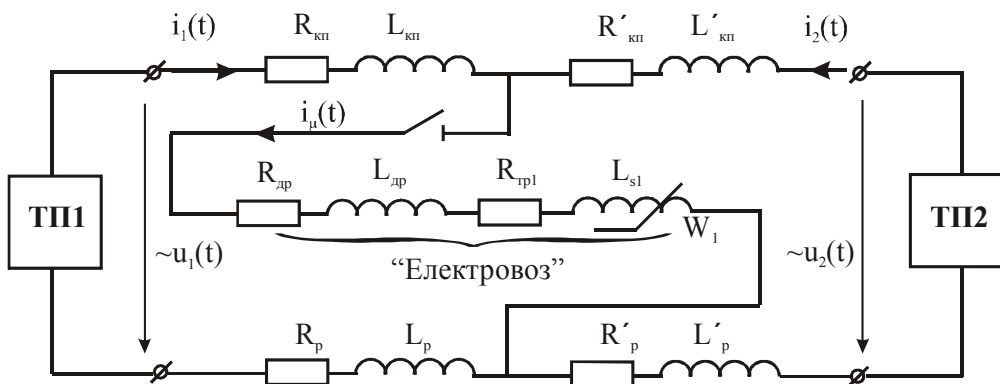


Рис. 2. Схема заміщення системи «тягова підстанція – тягова мережа – електрорухомий склад»

2.3. Система «ТП – ППК – ТМ – ЕРС»

Як відомо [2, 3], для покращення якості електричної енергії в тягових мережах використовують пристрій поперечної компенсації (ППК). Тоді електрична схема заміщення системи електротяги одноколійної ділянки двостороннього живлення з урахуванням ППК реактивної потужності може бути представлена, як зображене на рис. 3, згідно якого математична модель електромагнітних процесів є наступною системою нелінійних рівнянь:

$$R_{\text{пп}} \cdot i_1(t) + L_{\text{пп}} \cdot \frac{di_1}{dt} + R_{\text{ппк}} \cdot i_{\text{ппк}}(t) + \\ + L_{\text{ппк}} \cdot \frac{di_{\text{ппк}}}{dt} + \frac{1}{C_{\text{ппк}}} \int_0^t i_{\text{ппк}}(t) dt = 1,1 \cdot e_1(t); \quad (5)$$

$$-R_{\text{ппк}} \cdot i_{\text{ппк}}(t) - L_{\text{ппк}} \cdot \frac{di_{\text{ппк}}}{dt} - U_c(0) -$$

$$- \frac{1}{C_{\text{ппк}}} \int_0^t i_{\text{ппк}}(t) dt + (R_{\text{кп}} + R_p) \cdot i_\mu(t) + \\ + (L_{\text{кп}} + L_p) \cdot \frac{di_\mu}{dt} + (R_{\text{dp}} + R_{\text{tp}}) \cdot i_\mu(t) + \\ + (L_{\text{dp}} + L_s) \cdot \frac{di_\mu}{dt} + W_1 \cdot \frac{d\Phi}{dt} = 0; \quad (6)$$

$$i_1(t) - i_{\text{ппк}}(t) - i_\mu(t) = 0, \quad (7)$$

де індекс «ппк» – означає параметри та електричні величини пристрою поперечної компенсації, схема якого представлена на рис. 4 [3].

Для визначення параметрів вітки пристрою паралельної компенсації використаємо наступні формули. Ємність одного конденсатора в послідовному їх з'єднанні:

$$C = \frac{Q_C}{\omega \cdot U_c^2}, \quad (8)$$

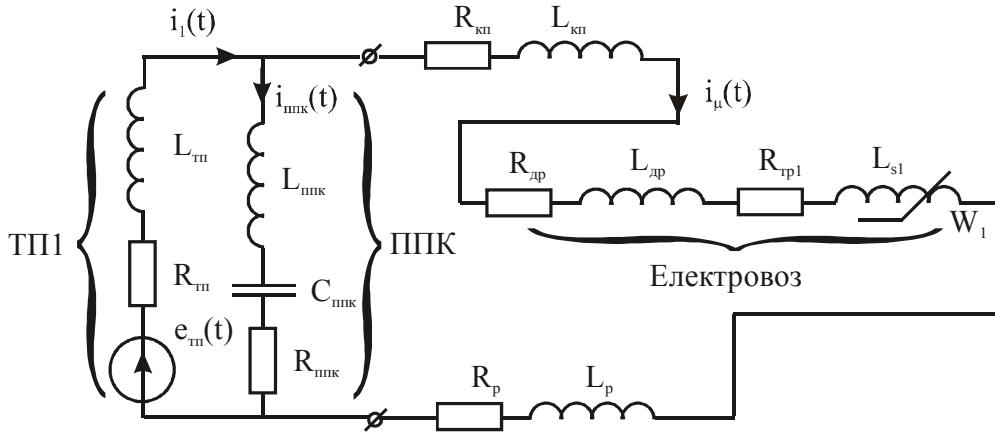


Рис. 3. Схема заміщення системи електричної тяги з урахуванням поперечної компенсації реактивної (ППК)

де $Q_C = 125 \cdot 10^3$ вар – реактивна потужність конденсаторної батареї, яка розташована в пристрой паралельної компенсації біля тягової підстанції Боярка; $\omega = 314 \frac{1}{c}$ – кутова частота тягової мережі; $U_c = 1050$ В – напруга батареї конденсаторів.

Еквівалентну ємність послідовно з'єднаних конденсаторів визначимо як:

$$C_{\text{ппк}} = \frac{C}{n}, \quad (9)$$

де $C = 362$ мкФ – ємність одного конденсатора типу КСК2-1,05-125-2У1;

$n = 34$ – загальна кількість послідовно з'єднаних конденсаторів компенсації.

Далі знайдемо першу та третю гармоніки ємнісного опору ємності; виходячи із умови резонансу напруг:

$$X_C^{(1)} = \frac{1}{\omega \cdot C_{\text{ппк}}}; \quad (10)$$

$$X_C^{(3)} = X_L^{(3)} = \frac{1}{3\omega \cdot C_{\text{ппк}}}. \quad (11)$$

Для визначення індуктивності вітки ППК визначмо першу гармоніку індуктивного опору ППК:

$$X_L^{(1)} = \frac{X_L^{(3)}}{3}; \quad (12)$$

$$L_{\text{ппк}} = \frac{X_L^{(1)}}{\omega}, \text{ або } L_{\text{ппк}} = \frac{1}{9 \cdot \omega^2 \cdot C_{\text{ппк}}}. \quad (13)$$

Також визначаємо активну складову опору ППК:

$$U_{\text{km}} = \sqrt{R_{\text{ппк}}^2 + (X_L^{(1)} - X_C^{(1)})^2} \cdot I, \quad (14)$$

звідки

$$R_{\text{ппк}} = \sqrt{\frac{U_{\text{km}}^2}{I^2} - (X_L^{(1)} - X_C^{(1)})^2}, \quad (15)$$

де I – номінальне значення струму у вітці ППК.

Після розрахунків за формулами (9)–(15) отримаємо такі параметри ППК: $R_{\text{ппк}} = 67,18$ Ом; $L_{\text{ппк}} = 107,03$ мГн; $C_{\text{ппк}} = 10,617$ мкФ.

3. Результати чисельних розрахунків та аналіз струму намагнічування

Чисельні розрахунки систем рівнянь (1)–(3), (2)–(4) та (2), (3), (5)–(7) виконано для числових даних, наведених у роботі [1], та параметрів ППК, визначених у цій роботі. Із отриманих величин найбільш важливою є часова залежність струму намагнічування $i_{\mu}(t)$ тягового трансформатора; у зв'язку з цим проаналізуємо такі залежності.

Як випливає із рис. 5, часовий характер зміни струму намагнічування $i_{\mu}(t)$ одинаковий для всіх розглядуваних систем (рис. 1 – 3) при різних відстанях ℓ від ТП і має вигляд спадаючої гостровершинної кривої, яка відрізняється від синусоїдної залежності. Однак максимальне значення (кідок) струму намагнічування $I_{\mu \max}$ різне для різних систем (порівнямо рис. 5, б та г для $\ell = 20$ км) і різних значень відстані ℓ (рис. 5, а та б, а також рис. 6).

З «ускладненням» системи, тобто з урахуванням більшої кількості елементів електрифікованої ділянки, величина кідка струму збільшується: наприклад, при $\ell = 10$ км значення $I_{\mu \max}$ для схем заміщення «ТМ – ЕПС» склало 469,2 А, для «ТП – ППК – ТМ – ЕПС» – вже 619,4 А.

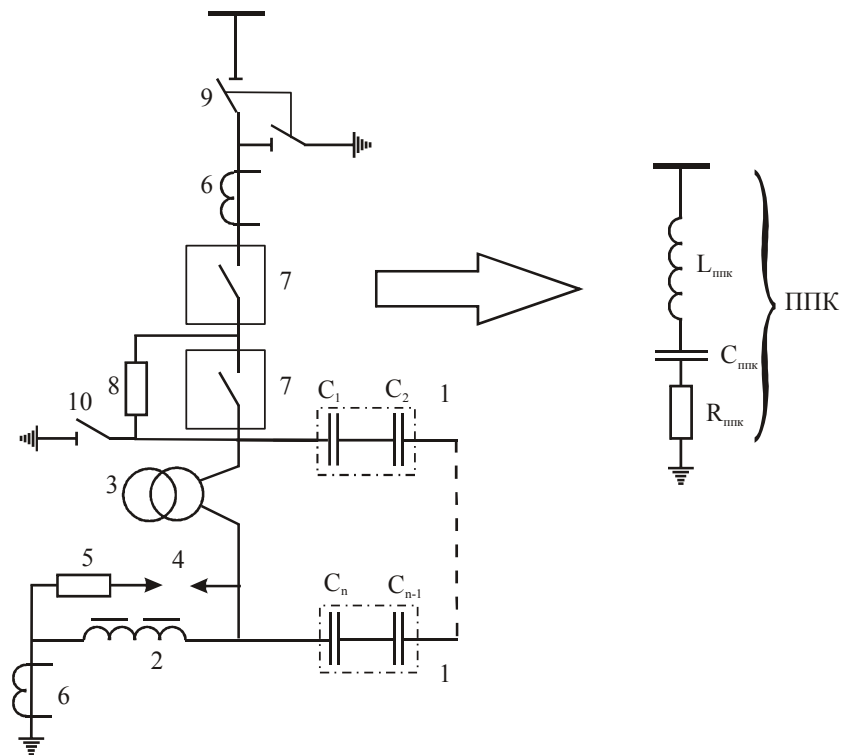


Рис. 4. Схема заміщення нерегульованого пристрою паралельної компенсації:

1 – послідовно з'єднані конденсатори; 2 – реактор зі сталевим осердям; 3 – розрядний трансформатор напруги; 4 – розрядник; 5 – обмежуючий резистор; 6 – трансформатор струму для живлення кола максимального та диференціального захисту; 7 – вимикач; 8 – шунтувальний резистор; 9 – роз'єднувач із заземлюючим ножем; 10 – заземлюючий роз'єднувач для виконання ремонтних робіт

Зі збільшенням відстані ℓ (тобто, чим далі від ТП знаходитьться електровоз) величина кидка струму $I_{\mu \max}$ зменшується (рис. 6); найбільше значення $I_{\mu \max}$ спостерігається при $\ell = 0$ км і досягає ~ 700 А.

Електричні кола розглядуваних систем (рис. 1 – 3) являють собою активно-індуктивні ($R - L$) кола. Для таких кол, як відомо із теоретичної електротехніки, тривалість переходного процесу $T_{\text{пп}}$ при вмиканні кола дорівнює:

$$T_{\text{пп}} = (4...5)\tau = (4...5)\frac{L}{R}, \text{ де } \tau \text{ – стала часу кола,}$$

а R та L – еквівалентні активний опір та індуктивність кола. Тоді зі збільшенням ℓ , тобто зі збільшенням розрахункової довжини тягової мережі, у більшій мірі збільшується її активний

опір й тим самим зменшується $T_{\text{пп}}$. За такої ж причини збільшується $T_{\text{пп}}$ і, отже, довше встановлюється усталений процес у більш складній, тобто реальній, системі електрифікованої ділянки (табл. 1).

4. Висновок

Вмикання силового тягового трансформатора у режимі холостого ходу є найбільш небезпечним при розташуванні електровоза ДС 3 біля тягової підстанції ($\ell = 0$ км). У цьому випадку, по-перше, кидок струму намагнічування найбільший і досягає ~ 685 А і, по-друге, тривалість переходного процесу до установлення усталеного процесу найдовша і дорівнює $0,7\dots 1,1$ с.

Таблиця 1

Система	«ТМ – ЕРС»					«ТП – ТМ – ЕРС»					
	ℓ , км	0	5	10	15	20	0	5	10	15	20
	$T_{\text{пп}}, \text{ с}$	0,65	0,55	0,46	0,34	0,3	1,1	0,85	0,55	0,46	0,38

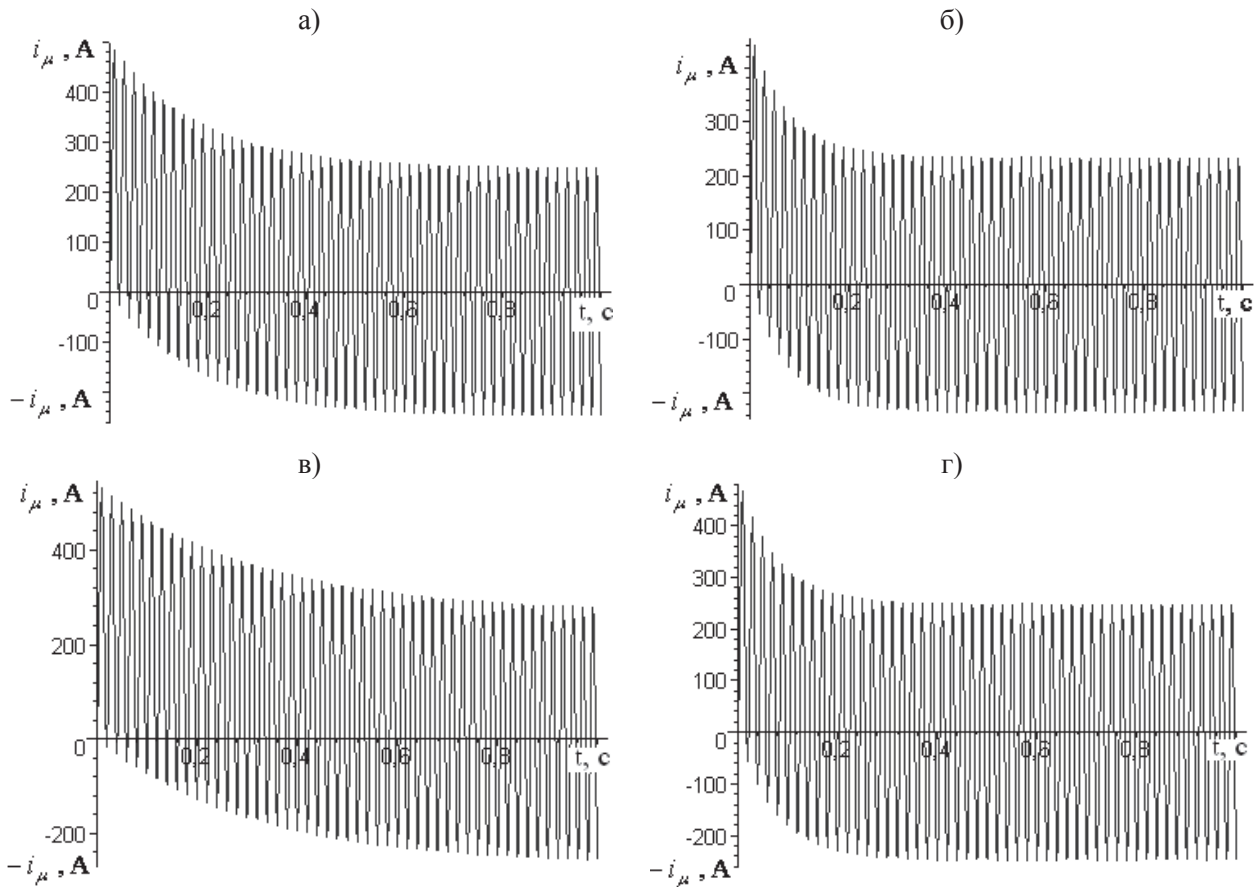


Рис. 5. Часові залежності струму намагнічування:
 a, δ – для системи «ТМ – ЕПС» при ℓ відповідно 5 та 20 км;
 c, γ – для системи «ТП – ТМ – ЕПС» при ℓ відповідно 0 та 20 км

БІБЛІОГРАФІЧНИЙ СПИСОК

1. Міщенко, Т. М. Математичне моделювання пе-рехідних процесів в системі змінного струму «тягова мережа – електровоз». 1. Вмикання силового трансформатора електровоза в режимі холостого ходу; оцінка параметрів [Текст] / Т. М. Міщенко, А. І. Кійко // Вісник Дніпропетр. нац. ун-ту залізничн. трансп. ім. акад. В. Лазаряна. – 2011. – № 36. – Д.: Вид-во ДНУЗТ, 2011. – С. 90-94.
2. Влияние поперечной ёмкостной компенсации на электромагнитные процессы в тяговой сети переменного тока [Текст] / Р. Р. Мамошин [и др.] // Электричество. – 1984. – № 5. – С. 9-12.
3. Мамошин, Р. Р. Электроснабжение электрифицированных железных дорог [Текст] / Р. Р. Мамошин, А. Н. Зимакова. – М.: Транспорт, 1980. – 296 с.

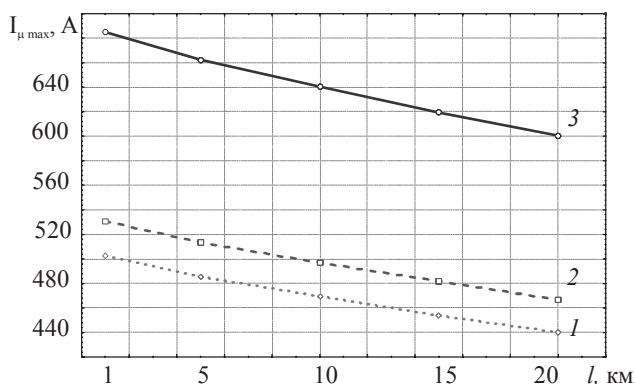


Рис. 6. Залежність максимального значення (кидка) струму намагнічування від відстані ℓ розташування електровоза відносно тягової підстанції:
 $1, 2, 3$ – для розрахункових систем відповідно «ТМ – ЕПС», «ТП – ТМ – ЕПС», «ТП – ППК – ТМ – ЕПС»

Надійшла до редколегії 02.12.2010.
 Прийнята до друку 15.12.2010.